

پایش ماهواره‌ای و تحلیل همدید پدیده‌ی گرد و غبار در کلان‌شهر مشهد طی دوره آماری ۲۰۰۹-۲۰۱۳

جمیله محمدی مرادیان - دانشجوی کارشناسی ارشد اقلیم شناسی، گروه جغرافیا، دانشگاه فردوسی مشهد، مشهد، ایران
سیدرضا حسین‌زاده^۱ - دانشیار ژئومورفولوژی، گروه جغرافیا، دانشگاه فردوسی مشهد، مشهد، ایران

تاریخ دریافت: ۱۳۹۴/۱/۲۳ تاریخ تصویب: ۱۳۹۴/۴/۸

چکیده

پدیده‌ی گرد و غبار در شرایط امروزی ایران به عنوان یک مخاطره محیطی جدی، مشکلات عمدی را برای محیط‌زیست و سلامت مردم به وجود آورده است. موضوع این تحقیق تحلیل گرد و غبار هوای کلان‌شهر مشهد طی دوره‌ی آماری ۲۰۰۹-۲۰۱۳ است. بدین منظور از طریق پردازش تصاویر ماهواره‌ای MODIS و با کاربرد شاخص دمای درخشانی، آشکارسازی گرد و غبار انجام و قلمرو گسترش آن بر روی شهر مشهد انجام شده است. سپس در جهت تحلیل علل سینوپتیک وقوع گرد و غبار، نقشه‌های ۵۰۰ هکتوپاسکال که از پایگاه NOAA با قدرت تفکیک $2/5 \times 2/5$ درجه طول و عرض جغرافیایی به صورت چهارنوبت در روز دریافت گردیده بود تحلیل شد. همچنین برای تعیین مناطق منشأ غبار، مدل جریانی HYSPLIT به روش پسگرد، طی ۲۶ ساعت قبل از وقوع برای روزهای آماری مورد مطالعه اجرا گردیده است. نتایج تحقیق نشان داد، که نواحی منشأ غبار روی شهر مشهد طی دوره‌ی گرم سال، در شرق و شمال‌شرق یعنی بیابان‌های ترکمنستان و همچنین اراضی تغییر یافته‌ی دشت‌های شمال‌شرق کشور قرار دارد. در دوره‌ی سرد سال نیز بیشتر نواحی شمال‌غربی شهر مشهد و از شرق دریای خزر با فراوانی کمتر توده‌ی گرد و غبار به سمت شهر مشهد کشیده می‌شوند. همچنین در کلیه نمونه‌های مورد مطالعه قرارگیری پرفشار حرارتی در تراز ۵۰۰ هکتوپاسکال و مکان‌گرینی امکای منفی در سطح زمین موجب صعود و ناپایداری هوا شده که با در نظر گرفتن جهت جریانات غبار، مشخص می‌شود که غبار از مناطق منشأ برخاسته و به سمت کلان‌شهر مشهد هدایت شده است.

کلیدواژه‌ها: گرد و غبار، دمای درخشانی، سینوپتیک، مدل HYSPLIT، کلان‌شهر مشهد.

۱. مقدمه

گرد و غبار به عنوان یک ماده آلاینده هوا همراه با دیگر آلاینده‌های جوی مورد سنجش قرار می‌گیرد (ذوق‌قاری، ۱۳۹۰). به علت فقدان پوشش گیاهی در مناطق مستعد گرد و غبار، هوای سطح زمین این مناطق گرم شده، به سمت بالا حرکت می‌کند و زمانی که به بادهای با سرعت بالای تروپوسفری برخورد نماید، یک جریان چرخشی سرد متمایل به سمت پایین ایجاد نموده که این بادها با شدت بالا در برخورد با سطح زمین باعث ایجاد توفان‌های گرد و غباری می‌شوند (زوان^۱ و همکاران، ۲۰۰۴). بزرگ‌ترین و پایدارترین منابع تولید غبار در نیمکره شمالی قرار دارند که همچون کمرنده از سواحل شمال‌غربی آفریقا آغاز شده و ضمن دربرگرفتن خاورمیانه، آسیای مرکزی و جنوبی به چین می‌رسد. با توجه به قرار گرفتن ایران در این منطقه و برخورداری از اقلیم خشک مستعد وقوع توفان‌های گرد و غباری است. این پدیده در ایران، بیشتر در نواحی شرقی و چاله‌های مرکزی، جنوب و جنوب‌غرب کشور به وقوع می‌پیوندد (صفری، ۱۳۹۰: ۳). توفان‌های گرد و غبار اثرات تخریبی چشم‌گیری بر اکوسیستم دریایی، ساحلی، تغییر ساختار خاک، اقتصاد و سلامتی انسان دارند (گودی^۲، ۲۰۰۷). تاکنون مطالعات و بررسی‌های گستردۀ و زیادی در سرتاسر جهان از مناطق وقوع این پدیده‌ی زیست‌محیطی، از جنبه‌های متنوعی صورت گرفته است، اکرمن^۳ و چانگ^۴ (۱۹۹۲)، تأثیر تجمع گرد و غبار را روی انرژی ورودی و خروجی نور خورشید بررسی کرده‌اند. تحقیقات آن‌ها نشان داد هنگامی که هوای بالای اقیانوس‌ها گرد و خاکی است طول موج کوتاه بالای لایه‌های اتمسفر تا ۹۰ – ۴۰ واحد بر متر مربع افزایش می‌یابد درحالی که در شرایط بدون گرد و غبار این طول موج ۵-۲۰ وات بر متر مربع است. وانگ^۵ و همکاران (۱۹۹۵)، نشان دادند که ذرات معلق روی تابش‌های ورودی و خروجی سطح زمین اثر دارند، تحقیقات آن‌ها نشان داد که ذرات گرد و غبار تأثیراتی روی جذب نور خورشید در لایه‌های زیر ۳۰۰۰ متری اتمسفر دارد. شانلین لیانگ^۶ و همکاران (۲۰۰۶)، با استفاده از ضخامت نوری استخراج شده از ماهواره‌ها به همراه اندازه‌گیری‌های زمینی غلظت PM_{2.5} کیفیت هوا را در چند شهر آلوهه جهان از جمله سیدنی، دهلی‌نو، هنگ‌کنگ، نیویورک و سوئیس برآورد نموده و ضریب همبستگی بالایی (حدود ۰/۹۶) میان این دو پارامتر به دست آوردن. همچنین مقادیر همبستگی عواملی از جمله پوشش ابر، رطوبت نسبی، ارتفاع لایه اختلاط بررسی شد و نتایج آن نشان داد که شرایط بدون ابر همبستگی بالا و ارتفاع لایه اختلاط و

۱ Xuan

۲ Goudie

۳ Ackerman

۴ Chung

۵ Wang

۶ Shunlin Liang

رطوبت نسبی همبستگی پایین با میزان غلظت $PM_{2.5}$ دارد. کای^۱ و ژائو^۲ (۲۰۰۷)، بررسی ویژگی طوفان‌های گرد و غباری آسیا با منشأ دریایی طی سال‌های ۲۰۰۰–۲۰۰۲ نشان داد که ۶۴ درصد توفان‌ها از دریاهای چین منشأ می‌گیرند و از غرب به شرق قوی تر شده و بر روی خشکی گرد و خاک را حمل می‌نمایند. ژائو^۳ و همکاران (۲۰۱۰)، الگوریتمی جهت تشخیص گرد و غبار و دود در استفاده از تصاویر ماهواره‌ای چند طیفی ابداع کردند. آشکارسازی در سطح پیکسل و خروجی حاصل از آن با ویژگی صفر به معنای بدون غبار و دود و یک به معنای همراه با غبار و دود بر روی تصاویر MODIS انجام شد. الگوریتم به کاررفته توانست غبار سیگن و ابرهای دودی روی سطح خشکی و دریا را آشکار نماید و به عنوان الگوریتم جهانی به کار رود. به کارگیری الگوریتم مذکور تمام تصاویر و با استفاده از طول موج‌های ۰/۴۷، ۰/۶۴، ۰/۸۶، ۱/۳۸، ۲/۲۶، ۳/۹، ۱۱، ۱۲ میکرومتر بر روی تصاویر GEOS-R/ABI JPSS/VIIRS EOS/MODIS را می‌تواند به شکل مطلوب آشکارسازی نماید. وانگ و همکاران (۲۰۱۱)، با استفاده از مدل HYSPLIT، توفان‌های ماسه و گرد و غبار سال ۲۰۰۸ را بررسی و چهار منطقه آفریقای شمالی، خاورمیانه، مغولستان و شمال غرب چین را با فراوانی بالای رخداد گرد و غبار بیان کردند. کریمی^۴ و همکاران (۲۰۱۲)، در مطالعه مقایسه تکنیک‌های شناسایی منابع گرد و غبار سطح زمین در خاورمیانه با استفاده از داده‌های MODIS، نشان دادند که الگوریتم حرارتی در مقایسه با مدل‌های اپتیکی در شناسایی گرد و غبار توانایی بالاتری برای تعیین پیکسل‌های گرد و غباری دارد و مدل‌های حرارتی می‌توانند اساس شناخت و مطالعه مناطق صحرایی و بیابانی باشد. آن‌ها داده‌های MODIS را با مقایسه چند الگوریتم بازیابی گرد و غبار بکار گرفته و روش جدید برای شناسایی توفان‌های گرد و غبار را به وسیله مادون‌قرمز حرارتی (TIR) و ترکیب باند مرئی مورد ارزیابی قراردادند. وانگ و همکاران (۲۰۱۳)، همبستگی بین^۵ AOT از تصاویر MODIS را با داده‌های ایستگاهی دو ایستگاه AERONET برای شهر پکن ارزیابی نمودند. نتایج همبستگی بین این دو، نسبت به محصول سطح دو اتمسفری بیشتر بود. مقادیر رگرسیون برای اکتبر ۲۰۰۴ به ترتیب ۰/۸۶۶، ۰/۸۴۵ برآورد شد سپس چهار مدل تجربی برای پیش‌بینی $PM_{2.5}$ در یازدهم اکتبر ۲۰۱۲ با استفاده از داده‌های AOT یک کیلومتری از MODIS و داده‌های ایستگاهی $PM_{2.5}$ اکتبر ۲۰۰۴ اجرا شد. نتایج اجرای مدلها با داده‌های ایستگاهی در همان روز مقایسه گردید. تحلیل نقشه‌های توزیع $PM_{2.5}$ چهار مدل نشان داد مدل درجه دوم که روش SARA نامیده می‌شد با خطای کمتر، پتانسیل معنی‌دار و خوبی برای تشخیص کیفی هوا در مقیاس‌های

¹ Kai² Gao³ Zhao⁴ Karimi⁵ Aerosol Optical Thickness

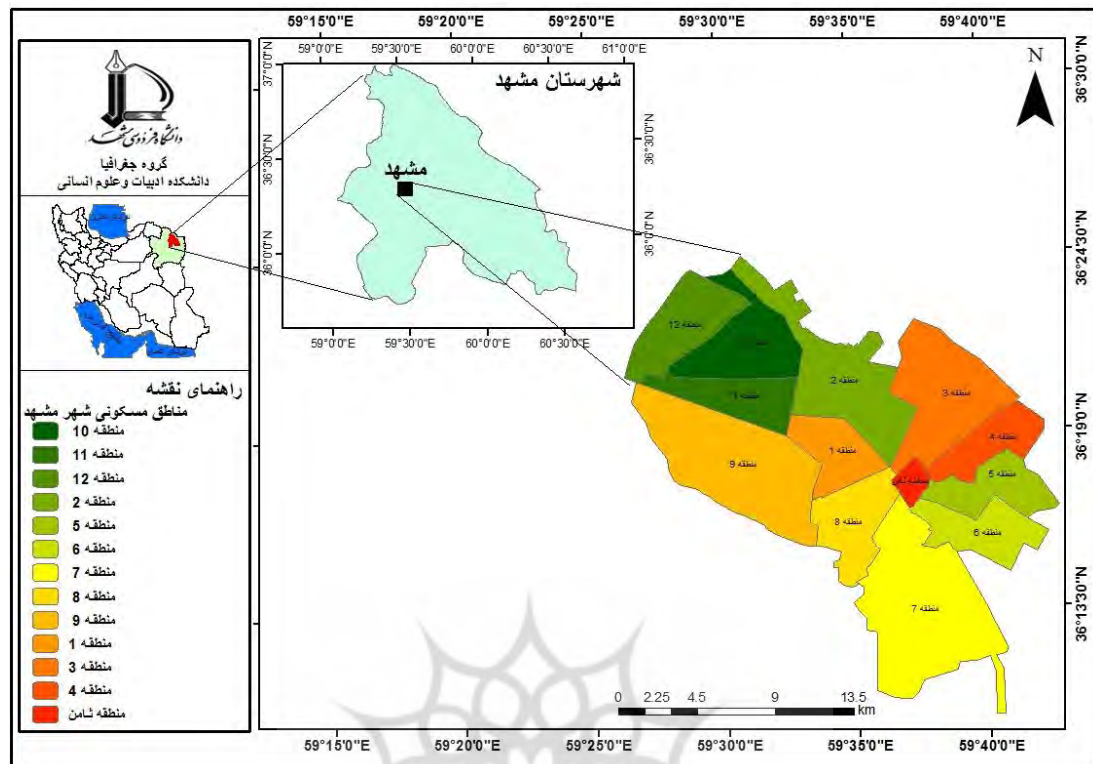
شهری دارد، و قادر است میزان غلظت $PM_{2.5}$ را بر روی مناطق شهری به خوبی نشان دهد. حسینزاده (۱۳۷۶)، نقش عوامل محلی به ویژه توپوگرافی را در شکل‌گیری باد سیستان و به تبع آن حمل مواد سطحی و شکل‌گیری توفان‌های گرد و غباری در دشت سیستان تأیید می‌نماید. ذوالقاری و عابدزاده (۱۳۸۴)، طی مطالعه‌ای سیستم‌های گرد و غبار در غرب ایران را با دیدگاه سینوپتیک مطالعه کرده و نتیجه گرفته‌اند که پرشمار آزور همراه با سیستم‌های مهاجر بادهای غربی مهم‌ترین عامل تأثیرگذار بر سیستم گرد و غبار منطقه است. همچنین این سیستم‌ها بسته به شرایط گاهی ایجاد گرد و غبار، گاهی بارندگی و گاهی نیز توأم گرد و غبار و بارندگی ایجاد می‌کنند. ولی زمانی که پرشمار آزور تقویت شده و بر منطقه حاکم می‌شود فربارهای حرارتی در سطح زمین ایجاد می‌گردند که نقش زیادی در ایجاد گرد و غبار محل دارند. مفیدی و جعفری (۱۳۹۰)، منابع توفان‌های گرد و غباری تابستانه در جنوب غرب ایران را با استفاده از مدل لاگرانژی HYSPLIT و روش ردیابی پسگرد تحلیل کردند. خروجی مدل HYSPLIT نشان داد منابع اصلی گرد و غبار برای توفان‌های جنوب‌غرب ایران محدوده‌ای در حد فاصل مرکز تا شمال عراق، شرق سوریه تا شمال عربستان است. امیدوار و نکونام (۱۳۹۰)، کاربرد گلباد و گل‌غبار را برای تحلیل پدیده گرد و خاک شهر سبزوار بررسی و انجام دادند. نتایج حاصل از تحلیل آماری و تحلیل فضایی داده‌ها نشان داد که به طور متوسط ۱۵ تا ۱۷ روز در سال هوا همراه با گرد و خاک و فصل بهار شایع‌ترین زمان بروز این پدیده است. همچنین بادهایی که در اثر تشکیل سیستم‌های حرارتی در دوره گرم سال از نیمه شرقی به سمت منطقه می‌وزد در ایجاد گرد و خاک محلی و فرامنطقه‌ای نقش مهمی دارند؛ اما سیستم‌های غربی در انتقال ذرات معلق گرد و خاک از سرزمین‌های دورتر مشهود است. شمسی‌پور و صفرزاده (۱۳۹۱)، با استفاده از دو منبع داده‌ای اطلاعات سنجش از دور و نقشه‌های هوا به تحلیل پدیده گرد و غبار تیرماه ۱۳۸۸ در غرب ایران پرداختند. در نمونه انتخابی مورد مطالعه، دامنه‌های زاگرس بالاترین میزان حجم آلاینده‌ها را دارند. همچنین نتایج بیانگر آن است که مکان گزینی محور ناوه و منطقه واگرایی بالایی در تراز ۵۰۰ هکتارپاسکال و شکل‌گیری سلول کم فشار حرارتی در سطح زمین نقش اصلی در شکل‌گیری و هدایت گرد و غبار به سمت ایران است.

کلان‌شهر مشهد به عنوان دومین کانون جمعیتی کشور و همچنین قرارگرفتن در مجاورت مناطق بیابانی شمال‌شرقی و مسیر شاخه‌ای از بادهای شدید فصل گرم سال از اثر این مخاطره‌ی طبیعی دور نخواهد بود. بنابراین آگاهی از وضعیت موجود این مخاطره، روند و نواحی منشأ آن جزء ضرورت‌های مطالعاتی است. پژوهش‌های محدودی در ارتباط با آلودگی هوای شهر مشهد صورت گرفته است. مطالعه استفاده از مدل شبکه عصبی مصنوعی در بررسی روابط بین عناصر اقلیمی و نوسانات آلودگی هوا در کلان‌شهر مشهد (سلیقه و کاخکی مهنه، ۱۳۹۲)، بررسی الگوهای همدید مؤثر بر آلودگی هوا در کلان‌شهر مشهد (حسین‌زاده و

همکاران، ۱۳۹۲)، پیش‌بینی ارزش‌گذاری و ترسیم نقشه آلودگی هوای شهر مشهد (گلریز ضیائی و همکاران، ۱۳۹۰)، بررسی آماری سینوپتیکی آلودگی هوای مشهد (جهانشیری، ۱۳۸۹)، بررسی کارایی سیستم‌های کنترل کننده ذرات معلق و تعیین میزان انتشار در کارخانجات آسفالت مشهد (منصوری و علی نژاد، ۱۳۸۸)، ارزش‌گذاری ویژگی‌های مختلف آلودگی هوای مشهد (قربانی و فیروز زارع، ۱۳۸۸) و بررسی سینوپتیک اینورزن در مشهد با استفاده از تحلیل عاملی (علیجانی و نجفی نیک، ۱۳۸۸) مواردی از تحقیقات انجام شده در این منطقه می‌باشد. تحقیقات صورت گرفته در ارتباط با ذرات معلق و پدیده گرد و غبار، در کلان‌شهر مشهد، مطالعات بر پایه تحلیل الگوهای گردش جوی و سینوپتیک یا انجام روش‌های آماری با استفاده از داده‌های ایستگاه هواشناسی یا آلودگی سنج صورت گرفته است. همچنین مطالعه‌ای که چشم و منشأ غبار به منطقه مشهد را نشان دهد، تاکنون به وضوح مشخص نگردیده است. با توجه به لزوم پایش و کنترل آلاینده‌های هوای در کلان‌شهرها و پراکندگی یا فقدان ایستگاه‌های سطح زمینی لازم است از منابع داده‌ای دیگری برای بررسی کیفیت هوای استفاده شود که داده‌های سنجش‌از دوری و تصاویر ماهواره‌ای از جمله این منابع هستند. مزیت فناوری ماهواره‌ای نسبت به دیگر روش‌ها پوشش فضایی کامل‌تری می‌دهد که در ترکیب با نمونه‌ها و اندازه‌گیری‌های زمینی، جهت تعیین شاخص کیفیت هوای می‌تواند مفید باشد (ادوارد^۱ و همکاران، ۲۰۰۶). بدین منظور این تحقیق بر آن است تا با پردازش تصاویر ماهواره‌ای MODIS در ترکیب با روش‌های همدیدی و ردیابی گرد و غبار به روش پسگرد از خروجی‌های مدل HYSPLIT نیز بهره گیرد.

۲. منطقه مورد مطالعه

مشهد به عنوان دومین کلان‌شهر ایران در شمال شرق کشور و به عنوان مرکز استان خراسان رضوی بین ۱۰° ۳۶' تا ۳۶° ۲۳' عرض شمالی و ۵۹° ۴۳' تا ۵۹° ۲۸' طول شرقی قرار گرفته است. این شهر در سال ۱۳۹۲ حدود ۵۶۰ کیلومترمربع وسعت داشته و بر اساس سرشماری عمومی نفوس و مسکن سال ۱۳۹۰، حدود ۳۱۳۰۰۰ نفر جمعیت داشته است. شهر مشهد در حوضه آبریز کشف رود بین رشته‌کوه‌های بینالود و هزار مسجد واقع است. ارتفاع متوسط شهر از سطح دریا ۹۸۵ متر و آب و هوای آن نیمه معتدل شامل زمستان‌های سرد و تابستان‌های گرم است. شکل ۱، موقعیت منطقه مورد مطالعه را نشان می‌دهد.

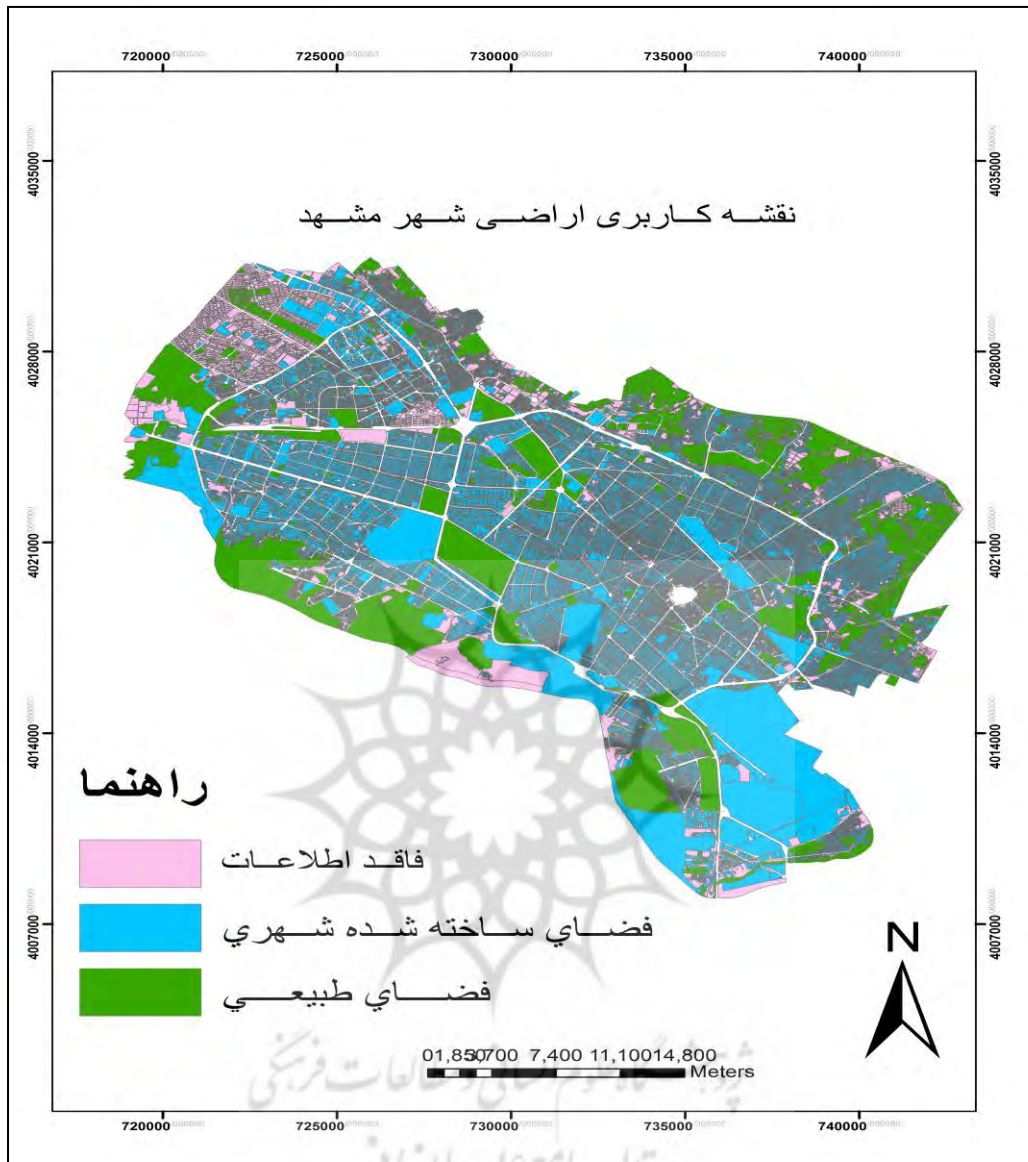


شکل ۱ موقعیت شهر مشهد در نقشه ایران

با توجه به داده‌های فیلد اطلاعاتی نقشه‌های رقومی سازمان شهرداری مشهد، جدول ۱، مربوط به درصد کاربری‌ها از مناطق سیزده‌گانه کلان شهر مشهد در دو طبقه‌ی ۱-فضای طبیعی ۲-فضای ساخته شده شهری بدست آمد. با توجه به جدول مذکور منطقه ۱۲ واقع در شمال غرب مشهد و منطقه ۵ واقع در جنوب شرق مشهد به ترتیب دارای بیشترین درصد مساحت از کاربری فضای طبیعی را شامل می‌شود. در این نواحی بیشترین مساحت مربوط به زمین‌های فاقد کاربری و بایر می‌باشد که بالطبع در افزایش میزان پدیده گرد و غبار تأثیرگذار است. شکل شماره ۲، نقشه کاربری اراضی شهر مشهد را نشان می‌دهد.

جدول ۱ درصد مساحت کاربری اراضی کلان شهر مشهد

مناطق شهری	۱	۲	۳	۴	۵	۶	۷	۸	۹	۱۰	۱۱	۱۲	ثامن
فضای طبیعی	۷/۶۳	۲۷/۱۷	۳۲/۸	۲۷/۸۲	۵۴/۸۹	۱۹/۲۸	۲۰/۸۷	۱۰/۱۱	۲۷/۰۶	۱۱/۹۲	۲۹/۷۵	۷۴/۷۷	۹/۲۷
فضای شهری	۷۹/۶۹	۵۴/۱۴	۴۶/۹۹	۵۲/۷۱	۳۵/۹۱	۵۲/۷۳	۲۵/۸۸	۳۸/۳۹	۲۹/۶۹	۵۷/۷۱	۵۰/۳۳	۸/۹۶	۵۵/۳۸



شکل ۲ کاربری اراضی شهر مشهد

۳. مواد و روش‌ها

۱-۳. داده‌ها

مواد تحقیق شامل، داده‌های هواشناسی مربوط به گُرد غباری ۰۶، نقشه‌های همدیدی و تصاویر ماهواره‌ای MODIS روزهای غباری است. داده‌های گروه اول برای دوره‌ی آماری ۲۰۱۳-۲۰۰۹ و برای ایستگاه سینوپتیک مشهد در مقاطع ۸ ساعته، از سازمان هواشناسی خراسان رضوی اخذ و در محیط Excel در قالب جدول ماهانه (جدول ۲) تنظیم شد.

جدول ۲ فراوانی ماهانه تعداد روزهای گرد و غبار شهر مشهد طی دوره آماری ۲۰۰۹-۲۰۱۳

	۱	۲	۳	۴	۵	۶	۷	۸	۹	۱۰	۱۱	۱۲	۱۳	۱۴	۱۵
۲۰۰۹	۰	۱	۲	۰	۰	۳	۷	۱	۰	۰	۱	۰	۱۵		
۲۰۱۰	۰	۰	۰	۲	۰	۰	۰	۰	۰	۰	۰	۰	۰	۰	۲
۲۰۱۱	۰	۰	۰	۱	۰	۱	۰	۱	۰	۲	۰	۰	۰	۰	۵
۲۰۱۲	۱	۰	۲	۰	۰	۱	۰	۰	۰	۰	۰	۰	۰	۰	۴
۲۰۱۳	۰	۰	۰	۰	۱	۰	۳	۲	۱	۰	۰	۰	۰	۰	۷
جمع	۱	۱	۴	۳	۱	۵	۱۰	۴	۱	۲	۱	۰	۰	۰	۳۳

دسته دوم داده‌های شبکه‌ای اقلیمی با قدرت تفکیک مکانی $2/5 \times 2/5$ درجه طول و عرض جغرافیایی و با فرمت^۱ Netcdf به صورت چهارنوبت در روز از وب‌گاه NCEP/NCAR است. نقشه‌های سینوپتیک روزهای غباری در محیط Grads در محدوده ۲۵-۵۵ درجه عرض شمالی و ۳۵-۸۵ درجه طول شرقی ترسیم و تحلیل گردید. برای ترسیم نقشه جریان هوا و تحلیل مسیر گرد و غبار از برآیند مؤلفه‌های باد مداری (U) و نصف النهاری (V) استفاده شد. همچنین آرایش الگوهای سرعت قائم باد (أمگا) و خطوط ارتفاع ژئوپتانسیل (HGT) تراز ۵۰۰ هکتوپاسکال برای مطالعه شکل‌گیری مناطق برداشت گرد و غبار مورد تحلیل قرار گرفت.

دسته سوم شامل تصاویر کالیبره شده‌ی محصول سطح یک اتمسفری MODIS با قدرت تفکیک یک کیلومتر و با فرمت^۲ HDF می‌باشد. مجموعاً تعداد ۱۶ تصویر همزمان با روزهای غباری از تاریخ ۲۰۰۹/۰۳/۱۶ تا ۲۰۱۳/۱۰/۳۰، از پایگاه GODDARD سازمان فضایی ناسا^۳ تهیه شد. اساس بازیابی اطلاعات از هواییزه‌ها بر اختلاف بین بازتابندگی رسیده به سنجنده استوار است (کافمن^۴, ۱۹۹۸). اختلاف بسیار دمای درخشندگی ذرات معلق در برخی از محدوده‌های طیف الکترومغناطیس (محدوده طول موج حرارتی)، با عوارض زمینی امکان آشکارسازی این ذرات را به خوبی فراهم می‌کند. ضمن آنکه، استفاده از

1 Network Common Data Form

2 Hierarchical Data Format

3 National Aeronautics and Space Administration (NASA)

4 Kaufman

تفاضل دمای درخشندگی میان دو، سه یا چهار باند از میان داده‌های سنجنده MODIS روند آشکارسازی را بسیار سریع‌تر و ساده‌تر می‌کند (مبادری و غفوری، ۱۳۸۵). باندهای ۱، ۲، ۳، ۴، ۳۱ و ۳۲ سنجنده MODIS (جدول ۳) جهت آشکارسازی گرد و غبار در این تحقیق استفاده شده است.

جدول ۳ مشخصات فنی باندهای مورد استفاده در این تحقیق

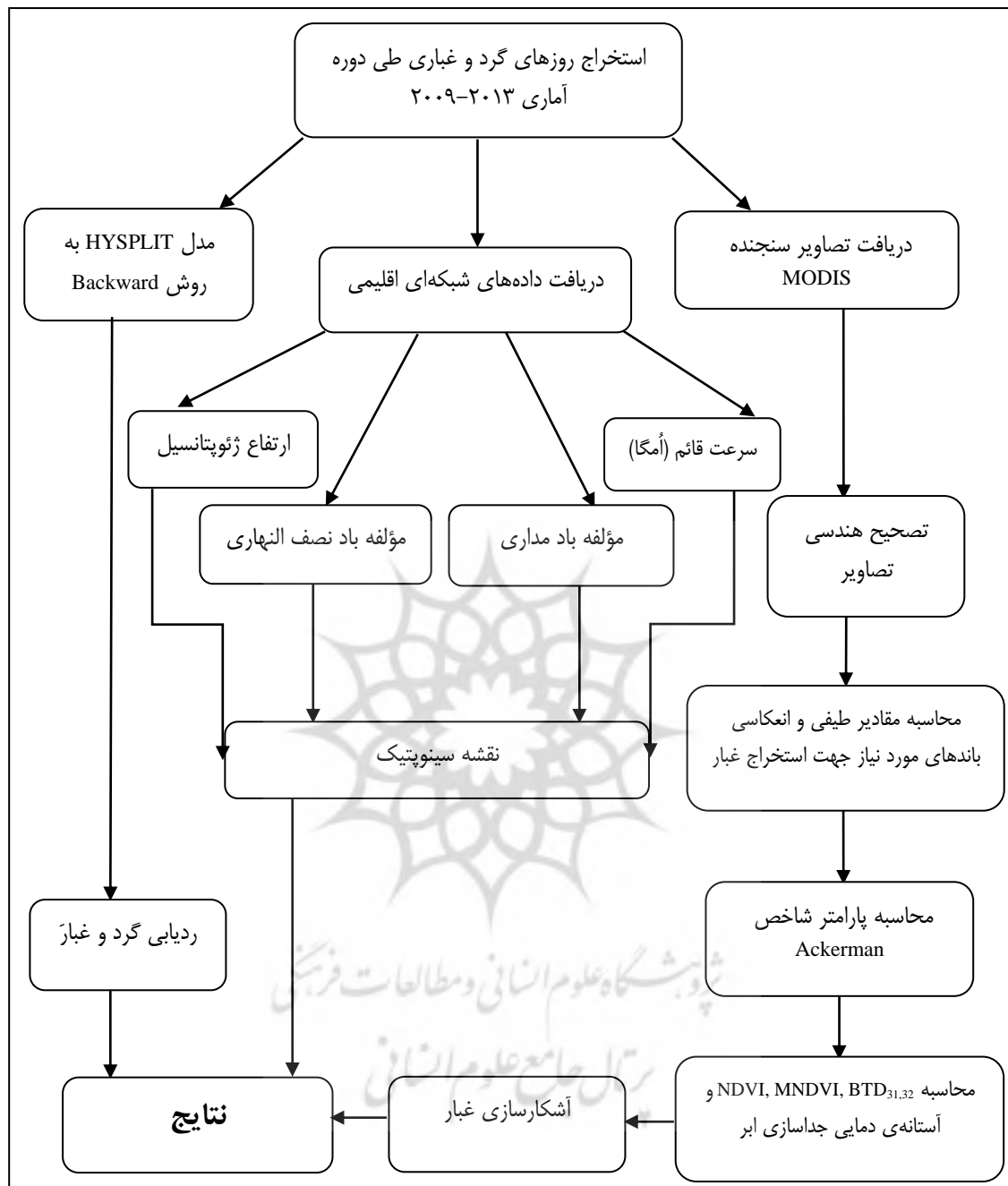
شماره باند	۱	۲	۳	۴	۳۱	۳۲
ابعاد پیکسل زمینی در دید پاسو (متر) Nadir	۲۵۰	۲۵۰	۵۰۰	۵۰۰	۱۰۰۰	۱۰۰۰
عرض باند بر حسب μm	۰/۶۲۰-۰/۶۷۰	۰/۸۴۱-۰/۸۷۶	۰/۴۵۹-۰/۴۷۹	۰/۵۴۵-۰/۵۶۵	۱۰/۷۸۰-۱۱/۲۸۰	۱۱/۷۷۰-۱۲/۲۷۰

دسته چهارم، داده‌های میانگین روزانه ذرات معلق (PM₁₀) ایستگاه‌های آلاینده‌سنگی (خیام، وحدت، طرق، سجاد) در سال ۲۰۱۱ است که برای اعتبار سنگی داده‌های روزانه AOD سنجنده MODIS در همان سال به کار رفته است.

دسته پنجم، خروجی مدل لاگرانژی^۱ HYSPLIT به روش پسگرد، جهت ردیابی منشأ غبار بر روی شهر مشهد می‌باشد. در این تحقیق، مدل HYSPLIT با هدف تعیین مسیر حرکت و منشأ غبارهای رسیده به شهر مشهد در خارج از ایستگاه استفاده می‌شود. مسیر ذرات گرد و غبار برای ۲۴ ساعت قبل از رخداد غبار بر اساس ساعت و قوع پدیده غبار روی منطقه در نظر گرفته شد. داده‌های ورودی مدل برگرفته از داده‌های بازتحلیل شده NCEP/Reanalysis بوده است. همچنین روش محاسبه جریانات به صورت خطوط هم-فشار (Isobaric)، با گام زمانی اجرای مدل ۶ ساعته و در ترازهای ارتفاعی ۵۰ و ۱۰۰۰ متر از سطح زمین صورت گرفت. ردیابی مسیر ذرات برای تمام نمونه‌های انتخابی انجام و در نهایت با بررسی خروجی‌های حاصل از مدل، مسیر انتقال غبار به روی شهر مشهد مشخص گردید. روند انجام مراحل مورد اجرا در این تحقیق طبق شکل ۳، تنظیم و نشان داده شده است.

1 Lagrangian

2 National Center for Environment Predicting



شکل ۳ روند انجام مراحل تحقیق

۲-۳. روش‌ها

تحقیق حاضر بر اساس ماهیت و روش، یک تحقیق تحلیلی-توصیفی موردنی به شمار می‌رود. که شیوه تجزیه و تحلیل اطلاعات و داده‌های تحقیق به روش کمی و با استفاده از آمار توصیفی و همچنین تجزیه و تحلیل فضایی

صورت گرفته است. جهت آشکارسازی غبار در تصاویر زمین مرجع شده در این تحقیق، شاخص اکمن (اکمن، ۱۹۹۷) بر پایه اختلاف دمای درخشایی (BTD) بین باندهای ۱۱ و ۱۲ میکرومتر و پارامتر MNDVI جهت جداسازی مناطق بیابان و خشک و آستانه دمایی ۲۹۰ درجه کلوین در باند ۳۲ برای جداسازی مناطق ابری از گرد و غبار به کار رفت. بدین منظور، جهت پیاده کردن این شبیه‌سازی ابتدا برای تمام تصاویر موجود، پس از تبدیل کردن مقدار رقومی تصاویر به رادیانس^۱، با استفاده از معادله پلانک^۲ (اکزا^۳، ۲۰۱۰)، مقادیر رادیانس باندهای حرارتی (باندهای ۱۱ و ۱۲ میکرومتر) به دمای درخشایی تبدیل شد.

$$T = \frac{hc}{\lambda_i k \ln\left(\frac{2hc^2}{L(\lambda_i)\lambda_i^5} + 1\right)} \quad (1)$$

در اینجا به بیان مراحل انجام آشکارسازی گرد و غبار بدین شرح می‌پردازیم: در مرحله اول، ابتدا مقدار شاخص پوشش گیاهی (NDVI) برای هر تصویر از رابطه‌ی شماره ۲ محاسبه شد.

$$NDVI = (\rho_{0.855} - \rho_{0.645}) / (\rho_{0.855} + \rho_{0.645}) \quad (2)$$

در این فرمول: $\rho_{0.645}$ مقدار رادیانس باند ۱ و $\rho_{0.855}$ مقدار رادیانس باند ۲ تصاویر MODIS می‌باشد. در مرحله دوم با استفاده از رابطه‌ی شماره ۳، مناطق بیابانی و سطوح خشکی با شاخص MNDVI از تصاویر حذف و جدا گردید. که در این تحقیق آستانه کوچکتر از ۲ برای مناطق دارای گرد و غبار اعمال شد.

$$MNDVI = (NDVI)^2 / (\rho_{0.645} \times \rho_{0.855}) \quad (3)$$

در سومین مرحله مقادیر اختلاف دمای درخشایی (BTD)، طول موج‌های ۱۱ میکرومتر (باند ۳۱) و ۱۲ میکرومتر (باند ۳۲) از طریق رابطه‌ی شماره ۴ محاسبه شد.

$$BT_{11\mu m} - BT_{12\mu m} \leq 0 \quad (4)$$

در این فرمول: $BT_{11\mu m}$ دمای درخشایی در باند ۳۱ و $BT_{12\mu m}$ دمای درخشایی در باند ۳۲ تصاویر MODIS که مقادیر کوچکتر و یا مساوی، برای مناطق دارای غبار صدق می‌کند.

۱ T دمای درخشایی :

h : ضریب ثابت پلانک برابر با $Js6.6265 \times 10^{-34}$

C : $m/s 2.998 \times 10^8$

k : ثابت بولتزمن برابر با $K/J 1.3806558 \times 10^{-23}$

$L(\lambda_i)$: مقادیر رادیانس باند i

λ_i بر حسب میکرومتر μm

2 Planck

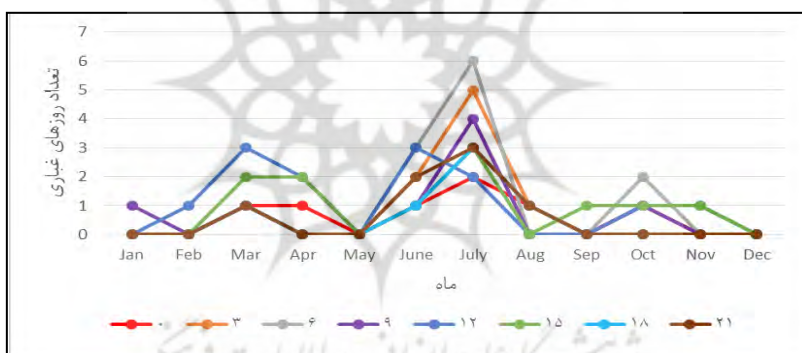
3 Xia

در مرحله چهارم، آستانه دمایی ۲۹۰ کلوین برای جداسازی مناطق با پوشش ابر از پدیده گرد و غبار در باند ۳۲ تصاویر MODIS مورد استفاده قرار گرفت. در پایان برای نمایش گرد و غبار به ترتیب، از تصویر تعیین حدود شده (R) و باندهای ۴ (G) و ۳ (B) یک تصویر RGB بدست آمد که در آن غبار به رنگ قرمز قابل رویت است.

۴. بحث و نتایج

۱-۱. فراوانی روزهای گرد و غباری

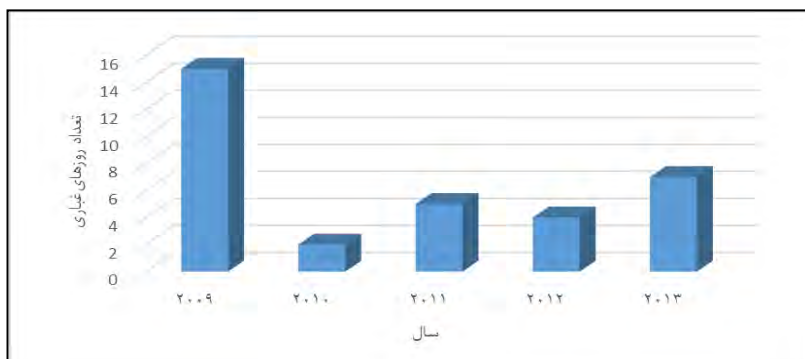
اشکال شماره ۴ و ۵ و ۶ به ترتیب تغییرات ساعتی ماهانه‌ی گرد و غبار و درصد میانگین ماهانه و فراوانی سالانه‌ی گرد و غبار در کلانشهر مشهد را طی دوره آماری مورد مطالعه نشان می‌دهد. بر این اساس، ساعات دیده‌بانی ۰۳، ۰۶، ۰۹ و ۱۲ ماه جولای و ۱۲ ماه زوئن و ۱۵ ماه مارس از بالاترین میانگین میزان وقوع غبار برخوردار بوده است. در مقابل ماههای ژانویه، فوریه و دسامبر حداقل میزان ساعتی غباری را داشته‌اند. ماه‌های جولای، زوئن، مارس و آگوست بیشترین و ماههای ژانویه، فوریه و دسامبر از کمترین درصد ماهانه روزهای گرد و غباری طی دوره مذکور برخوردار بوده است. همچنین با توجه به شکل ۶ بیشترین رخداد گرد و غبار در این دوره مربوط به سال ۲۰۰۹ بوده است.



شکل ۴ تغییرات ساعتی گرد و غبار در کلانشهر مشهد (۲۰۰۹-۲۰۱۳)



شکل ۵ درصد میانگین ماهانه گرد و غبار در کلانشهر مشهد (۲۰۰۹-۲۰۱۳)

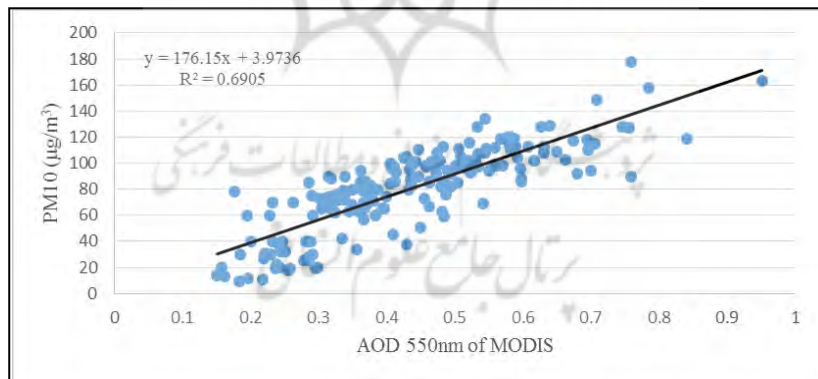


شکل ۶ فراوانی سالانه‌ی روزهای غباری در کلان‌شهر مشهد (۲۰۰۹-۲۰۱۳)

۴-۲. تحلیل داده‌های ماهواره‌ای

۴-۲-۱. اعتبارسنجی AOD تصاویر MODIS و داده‌های زمینی PM_{10}

اعتبارسنجی داده‌های ماهواره‌ای از رابطه‌ی همبستگی و معادله‌ی خط رگرسیون داده‌های ایستگاهی پارامتر ذرات معلق PM_{10} در سال ۲۰۱۱ به عنوان متغیر وابسته و داده‌های روزانه AOD سنجنده MODIS در همان سال، به عنوان متغیر مستقل انجام گرفته است (شکل ۷). داده‌های AOD 550nm از وب‌گاه NASA¹ دریافت شد. در این تحلیل حدود ۶۹ درصد تغییرات متغیر وابسته PM_{10} ، توسط متغیر مستقل MODIS AOD 550nm تبیین می‌شود. مقادیر بدست آمده طبق شکل ۷ نشان می‌دهد؛ که دو پارامتر اعتبارسنجی شده نسبت به هم، از همبستگی خوبی برخوردار می‌باشند.



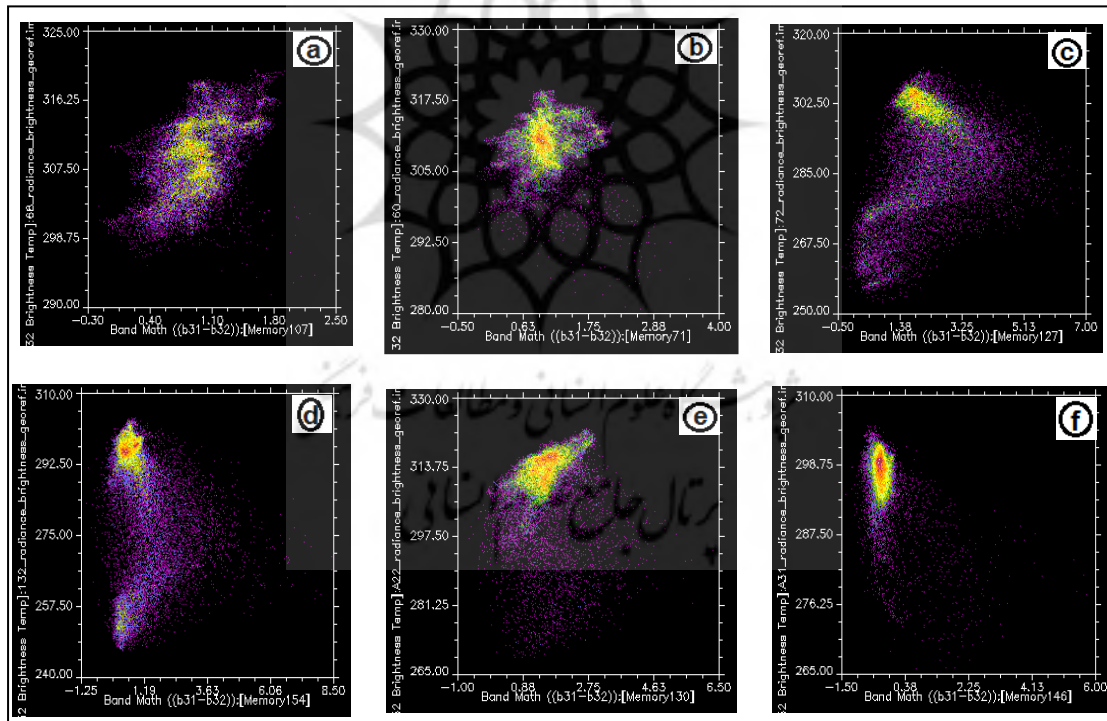
شکل ۷ نمودار همبستگی مقادیر روزانه‌ی داده‌های PM_{10} و AOD سال ۲۰۱۱ در کلان‌شهر مشهد

۴-۲-۲. شاخص شناسایی گرد و غبار با اختلاف دمای درخشایی $BTD_{31,32}$

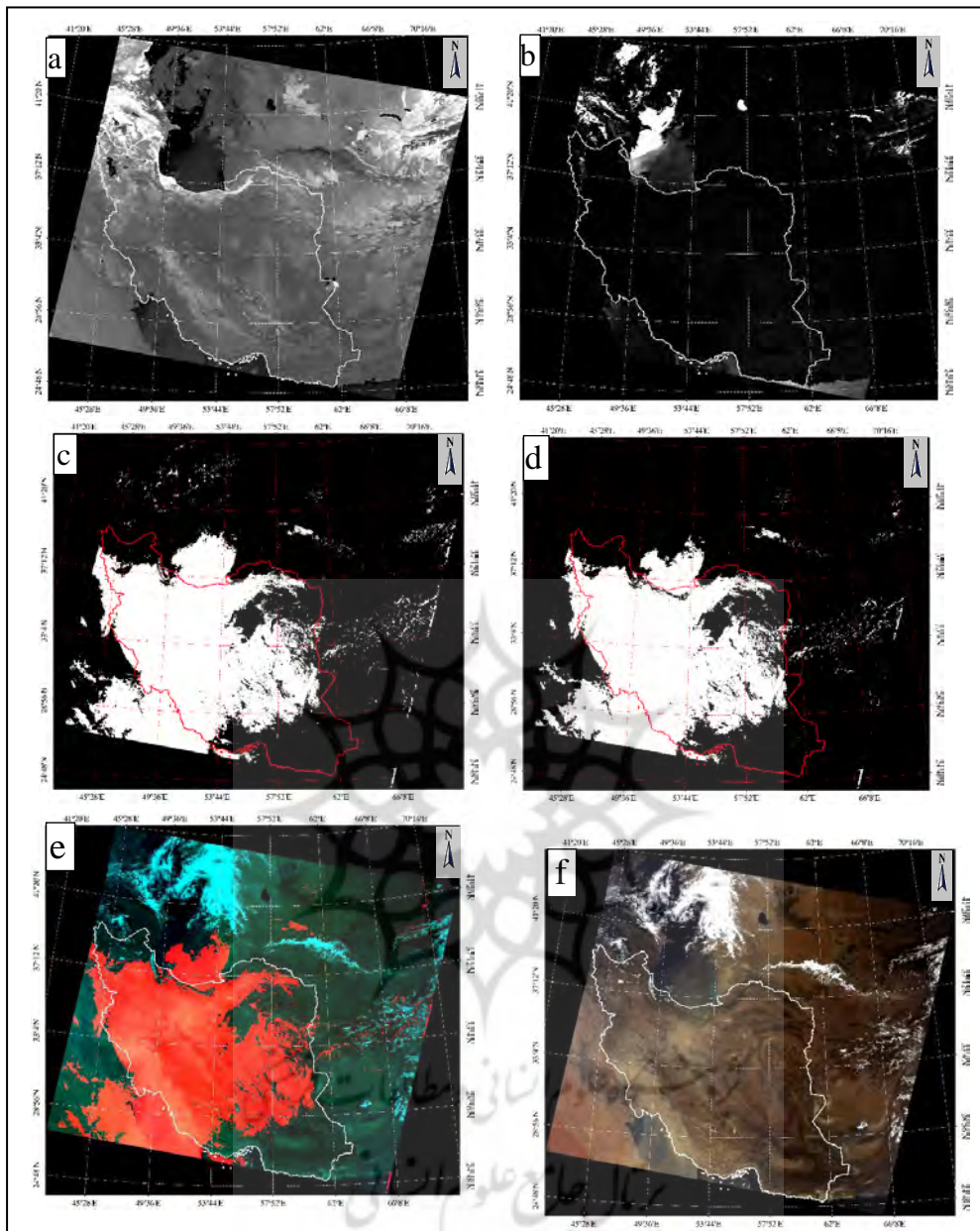
این شاخص به جهت استفاده از باندهای حرارتی و مرئی نتیجه قابل قبولی را در آشکارسازی غبار بر روی منطقه نشان داد. اجرای الگوریتم این شاخص، طی چهار مرحله محاسبه، بر روی باندهای تصویر به بارزسازی غبار انجامید. در

1 <http://disc.sci.gsfc.nasa.gov/giovanni>

مرحله اول محاسبات باندی با تعیین مقدار NDVI، میزان بازتابندگی تصویر مشخص و سپس پیکسل های سطوح خشکی بر روی تصویر با اجرای شاخص MNDVI با حد آستانه کمتر از ۲، حذف و در مرحله سوم با محاسبه اختلاف دمای درخشایی در باندهای ۱۱ و ۱۲ میکرومتر و تعیین حد آستانه کمتر از $0/5$ ، گرد و غبار در جو آشکار گردید. سپس پهنه های ابر، آب و یخ بر روی تصویر از گرد و غبار جدا و حد آستانه دمایی بیشتر از 290° درجه کلوین در باند ۳۲ سنجنده مودیس استفاده شد. جهت دستیابی آسان به حدود آستانه در هر مرحله برای هر تصویر، نمودار پراکنش دمای درخشایی برای هر تصویر (شکل ۸)، روی منطقه مورد مطالعه تهیه شد. هر نمودار از شکل مذکور میین پدیده گرد و غبار برای مقادیر BT_{11} و BT_{12} می باشد. همان طور که مشخص است ابر مقادیر دمای کمتری را نشان می دهد، در صورتی که پدیده گرد و غبار دماهای بالاتری را نشان می دهد. پس از اجرای چهار مرحله مذکور برای هر تصویر، نواحی با پوشش غبار به رنگ سفید و گُد یک، نواحی فاقد غبار به رنگ مشکی و گُد صفر نمایان و در نهایت نمایش غبار، با ایجاد ترکیب باندی (RGB) و به صورت رنگی، بر روی منطقه صورت گرفت. در این مرحله، تصویر حاصل از مرحله چهارم و باندهای ۴ و ۳ به ترتیب، به صورت RGB تهیه شد. غبار در این مرحله به رنگ قرمز نمایش داده می شود. شکل ۹، مراحل بارز سازی گرد و غبار را در هر مرحله بر روی هر تصویر نشان می دهد.



شکل ۸ نمودار پراکنش اختلاف دمای درخشایی، محور X (BT₃₁-BT₃₂)، آستانه دمای درخشایی محور Y (BT₃₂) روی شهر مشهد طی روزهای آماری مورد مطالعه؛ نواحی رنگ قرمز گرد و غبار، نواحی بنفش پهنه های آب و ابر، نواحی زرد سایر سطوح خشکی می باشد. نمودارها مربوط به تاریخ (a) ۲۰۰۹/۰۷/۰۲، (b) ۲۰۰۹/۰۶/۲۸، (c) ۲۰۱۳/۰۳/۱۶، (d) ۲۰۰۹/۰۷/۰۳، (e) ۲۰۱۲/۰۷/۲۳، (f) ۲۰۱۱/۱۰/۲۰ می باشد.



شکل ۹ مراحل بارزسازی پدیده‌ی گرد و غبار بر روی تصاویر با استفاده از اختلاف دمای درخشایی (BTD_{31,32}).

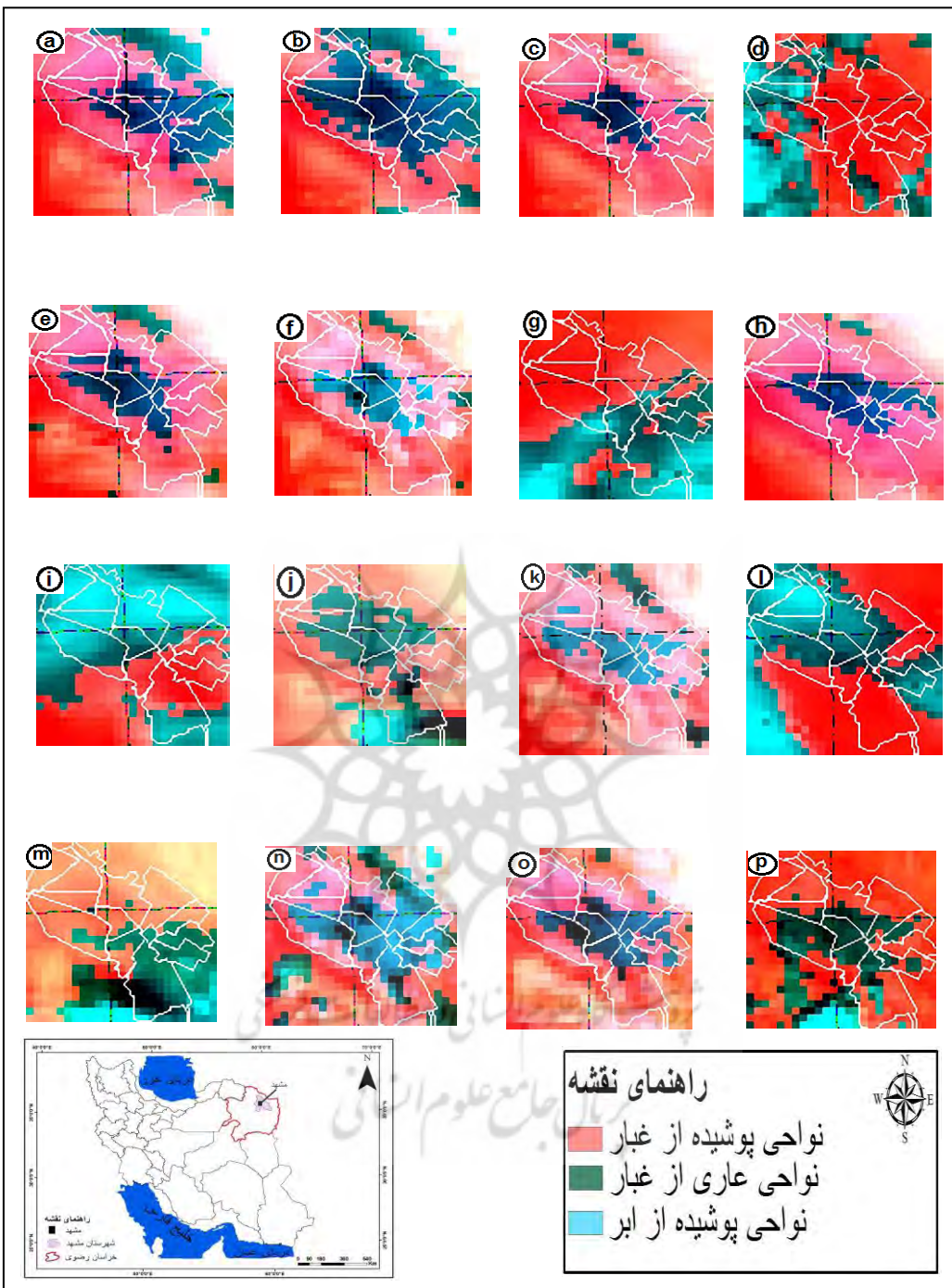
(تصویر مربوط به تاریخ ۲۰۰۹/۰۷/۰۶)

(a) محاسبه NDVI، برای تعیین بازتابندگی سطح. (b) محاسبه MNDVI برای حذف سطوح خشکی و بیابان. (c) محاسبه آشکار سازی آبر و غبار. (d) محاسبه آستانه دمایی باند ۳۲ (جداسازی پهنه‌های آب، ابر و یخ) و آشکارسازی غبار. (e) آشکارسازی غبار به رنگ قرمز به روش ترکیب باندی به صورت RGB. (f) تصویر رنگ حقیقی (TCC) از توفان گرد و غبار.

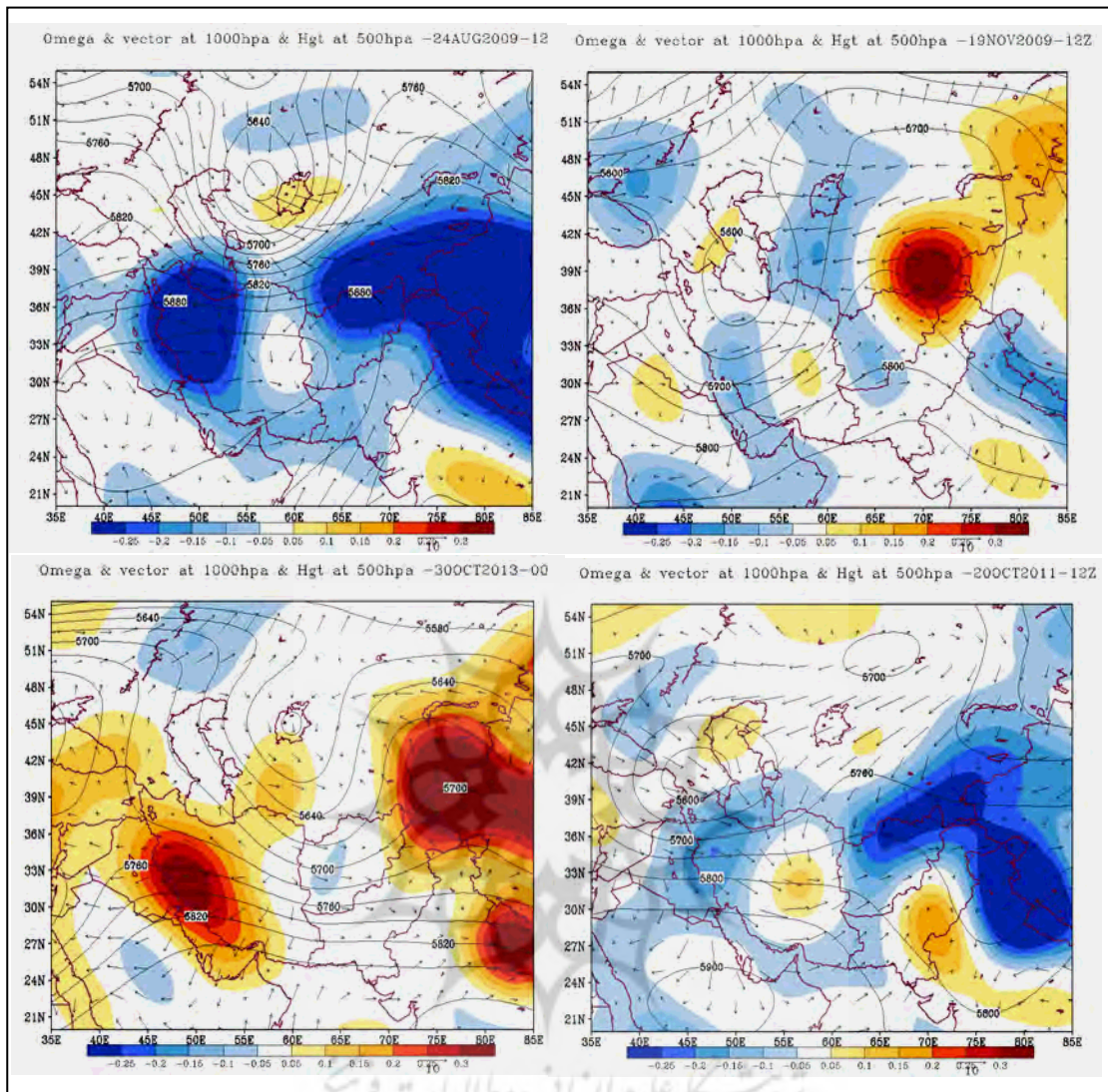
در تصاویر $BTD_{31,32}$ محاسبه شده، نواحی غباری اداری نزدیک به صفر و کمتر از آن می‌باشند، به طوری که می‌توان در بیشتر تصاویر با به کار بردن آستانه‌ی $<0/5$ مناطق غباری را به خوبی تفکیک نمود. سایر سطوح دارای مقادیر بیشتر از این آستانه و بالاترین اختلاف درجه‌ی روشنایی مربوط به نواحی ابری با تراکم بالا می‌باشد. با توجه به نقشه تقسیمات ناحیه‌بندی شهر مشهد (شکل ۱)، و نتایج بررسی و پردازش تصاویر ماهواره‌ای رخدادهای پدیده گرد و غبار با استفاده از اختلاف دمای درخشایی $BTD_{31,32}$ (شکل ۱۰)، الگوی مکانی گرد و غبار در کلان‌شهر مشهد بر اساس نمونه‌های ذکر شده در این تحقیق نشان می‌دهد که شمال‌غرب، غرب و جنوب کلان‌شهر مشهد در همه موارد مطالعه شده، پوشیده از غبار بوده است. بدین ترتیب به نظر می‌رسد نواحی ۱، ۸، ۹، ۱۰، ۱۱، ۱۲ واقع در این مناطق شرایط غباری بیشتری را نسبت به دیگر نواحی مشهد تجربه می‌نمایند. همچنین تحلیل‌ها نشان می‌دهد حواشی شهر مشهد به صورت نواری در اطراف کلان‌شهر مشهد نسبت به نواحی مرکز شهر در معرض آلودگی غباری بیشتری قرار دارد.

۴-۳. تحلیل سینوپتیک وقوع پدیده‌ی گرد و غبار

جهت بررسی شرایط سینوپتیک در روزهای وقوع پدیده‌ی گرد و غبار، نقشه‌های همدید همزمان با تصاویر و برای ساعت ۱۲ ظهر به وقت محلی به عنوان میانگین زمانی روز غباری، مورد بررسی و تحلیل قرار گرفت. با توجه به شکل ۱۱، در این ایام عمدتاً بر روی ایران در تراز میانی جو پرارتفاع و با مقادیر امکای منفی، صعود و ناپایداری در مناطق کانون موجب شده که در صورت نبود رطوبت در هوای منطقه، وقوع گرد و غبار را در پی خواهد داشت. در این شرایط امگا در تراز ۵۰۰ هکتومتراسکال در دوره گرم سال در شرایط پرارتفاع به دلیل تابش طولانی و شدید آفتاب از نوع حرارتی و در حالت کم ارتفاع از نوع دینامیک خواهد بود. همچنین با توجه به مسیر حرکت و سرعت باد در سطح زمین و غلبه جریانات، به صورت شمالی - جنوبی، به نظر می‌رسد که گرد و غبار را از روی مناطق کانونی خود را به سوی شمال شرق ایران و شهر مشهد برساند. به طور کلی، با توجه به نقشه‌ی روزهای غباری می‌توان بیان کرد که اصلی‌ترین و نزدیک‌ترین کانون و منشأ گرد و غبارهای منطقه‌ی کلان‌شهر مشهد، در شرق منطقه و بر روی افغانستان و شرق ترکمنستان قرار دارد. در کلیه‌ی نقشه‌های سینوپتیک مرتبط با روزهای غباری در دوره‌ی آماری مورد مطالعه، وضعیت همدیدی مشابه مذکور دیده شد.



شکل ۱۰ تصاویر بارزسازی شده‌ی غبار بر روی شهر مشهد طی دوره‌ی آماری ۱۳۰۹-۱۴۰۹؛ تاریخ ۲۸/۰۶/۹۰؛ (a) ۰۷/۰۶/۹۰، (b) ۰۷/۰۷/۹۰، (c) ۰۷/۰۲/۹۰، (d) ۰۷/۰۳/۹۰، (e) ۰۷/۰۵/۹۰، (f) ۰۷/۰۶/۹۰، (g) ۰۷/۰۷/۹۰، (h) ۰۷/۰۹/۹۰، (i) ۰۸/۰۸/۹۰، (j) ۱۹/۱۱/۹۰، (k) ۱۶/۰۳/۹۰، (l) ۱۳/۰۷/۹۰، (m) ۲۳/۰۶/۹۰، (n) ۲۳/۰۷/۹۰، (o) ۳۰/۰۹/۹۰، (p) ۰۷/۰۶/۹۱، (q) ۰۷/۰۷/۹۱، (r) ۰۷/۰۸/۹۱، (s) ۰۷/۰۹/۹۱، (t) ۰۷/۱۰/۹۱، (u) ۰۷/۱۱/۹۱، (v) ۰۷/۱۲/۹۱، (w) ۰۷/۱۳/۹۱، (x) ۰۷/۱۴/۹۱، (y) ۰۷/۱۵/۹۱، (z) ۰۷/۱۶/۹۱.

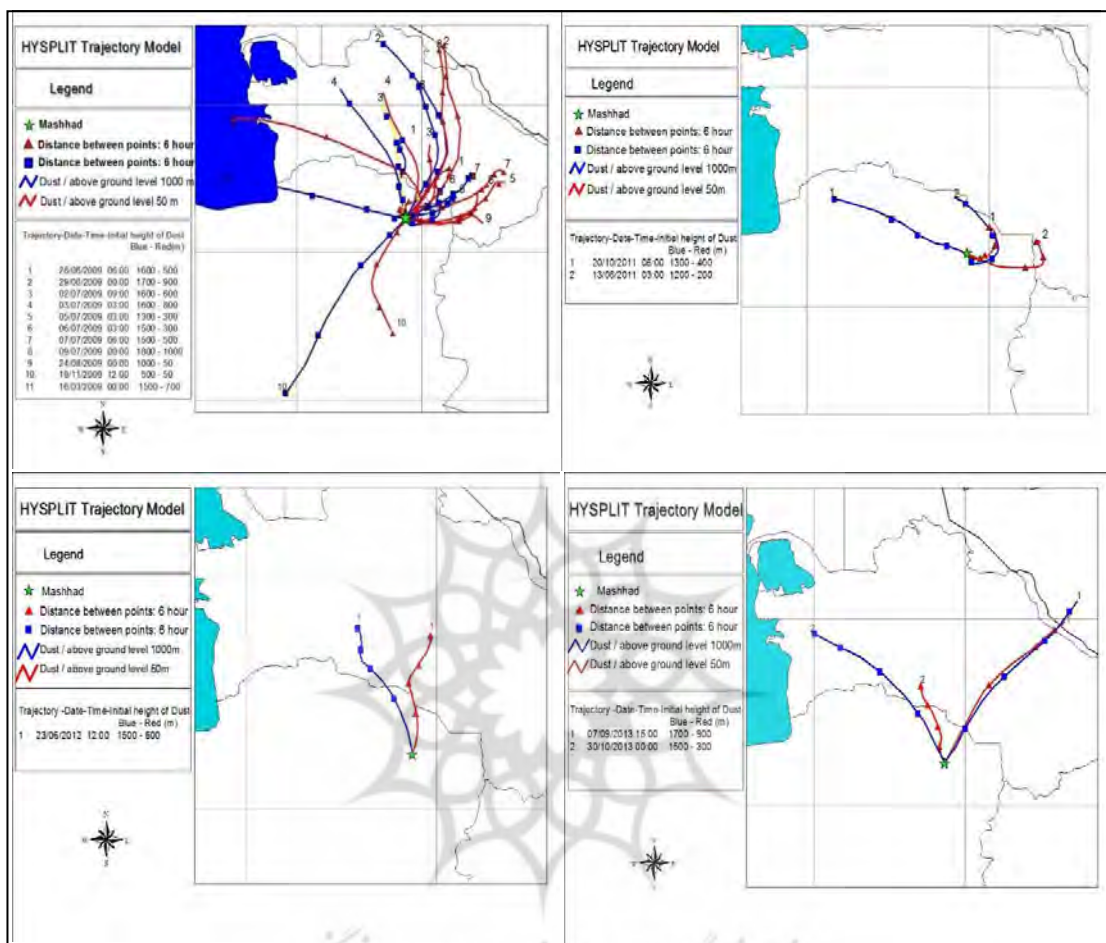


شکل ۱۱ آرایش امگای سطحی و آرایش خطوط هم ارتفاع در تراز میانی جو و جریانات در سطح زمین؛ در روزهای مورد مطالعه طی دوره‌ی آماری ۲۰۰۹-۲۰۱۳

۴-۴. ردیابی مسیر ذرات گرد و غبار

با شروع اولین ساعت گزارش شده غبار، مسیر ذرات تا ۲۴ ساعت قبل از زمان مذکور مورد بررسی قرار گرفت. بررسی مسیر ذرات غبار، برای ارتفاع ۵۰ متر (خط قرمز) و ۱۰۰۰ متر بالای سطح زمین (خط آبی) در شهر مشهد با گام زمانی ۶ ساعته، همچنین ارتفاع غبار در مسیر شروع تا زمان رسیدن به ایستگاه برای هر رخداد غبار به تفکیک ذکر گردیده است. بررسی نقشه‌های خروجی مدل نشان می‌دهد که سه مسیر کلی، در انتقال ذرات غبار به شهر مشهد، قابل تشخیص است. در بیشتر رخدادها که با منشأ بیابان‌های ترکمنستان و آسیای مرکزی، مسیر اصلی هدایت غبار به منطقه‌ی شمال شرق-جنوب غرب بوده و بیشتر در دوره گرم سال

قابل مشاهده است. مسیر دوم، شمال‌غربی - جنوب‌شرقی که با غلبه در دوره سرد سال و مسیر سوم، جنوب‌غربی- شمال‌شرقی می‌باشد و با غلبه در دوره‌ی سرد سال فراوانی کمتری را تشکیل می‌دهند (شکل ۱۲).



شکل ۱۲ ارديابي مسیر ذرات گرد و غبار با مدل HYSPLIT، برای ۲۴ ساعت قبل از اولين رخداد طی هر سال

۵. نتیجه گیری

با توجه به آمار و اطلاعات تهیه شده مربوط به پدیده‌ی گرد و غبار از سازمان هواسنجی خراسان رضوی مشخص شد که بیشینه وقوع رخداد گرد و غبار در طی ساعات شب‌نامه‌روزی در همه‌ی رخدادهای غباری مشاهده شده‌ی تحقیق در کلان‌شهر مشهد در ساعات صبح و به ترتیب طی ساعات ۰۶، ۰۳ و ۰۹، به وقت محلی با میزان ۵ و ۶ و ۴ روز در ماه جولای، کمترین میزان در ساعت صفر به وقت محلی و در اکثر ماههای سال طی دوره آماری مورد مطالعه رخ می‌دهد. به لحاظ بررسی ماهانه بیشترین رخدادهای غباری در کلان‌شهر مشهد با توجه به جدول ۱، به ترتیب در ماههای جولای ۱۰ روز، ژوئن ۵ روز آگوست و مارس ۴ روز،

در دوره مطالعاتی می‌باشد. کمترین میزان ماهانه ثبت شده در ماه دسامبر بدون غبار، طی دوره سرد سال به وقوع پیوسته است. ویژگی‌های شاخص دمای درخشایی توانست، روی تصاویر ماهواره‌ای نواحی پوشیده از غبار روی شهر مشهد را بازسازی نماید. همچنین تحلیل همدیدی از روزهای غباری وقوع غبار نیز در شناسایی و یافتن منشأ و نحوه انتقال گرد و غبار را فراهم کرد. در نمونه روزهای غباری مورد مطالعه با روش همدید مشخص شد که منطقه‌ی افغانستان و قسمتی از ترکمنستان واقع در شمال‌شرق کلان‌شهر مشهد به عنوان کانون‌های اصلی توده‌ی گرد و غباری رسیده به شهر مشهد را فراهم می‌آورد. خروجی نقشه‌های مدل HYSPLIT نیز هم‌پوشانی خوبی با نقشه‌های همدید در روزهای وقوع گرد و غبار دارد. به طور کلی طی دوره‌ی مطالعه در این تحقیق نواحی شمال‌غرب، غرب و جنوب شهر مشهد در همه‌ی موارد بررسی شده پوشیده از غبار بوده است. نواحی واقع در این مناطق شرایط غباری بیشتری را نسبت به دیگر نواحی مشهد تجربه می‌کند. همچنین نواحی حاشیه‌ی شهر مشهد به صورت نواری در اطراف شهر مشهد به طور عمده در همه موارد مطالعه شده پوشیده از غبار می‌باشد. با این شرایط به نظر می‌رسد که علاوه بر خشک بودن نواحی در این مناطق شهر مشهد عوامل محلی در ارتباط با کمبود و عدم وجود تراکم سازه‌های شهری و آسفالت شهری در افزایش وضعیت پوشیده از غبار در این مناطق تأثیرگذار بوده است. وجود چنین شرایطی می‌تواند پاسخی بر کاهش میزان غبارهای رسیده به سطح شهر و نواحی مرکزی باشد. که ورود جریانات گرد و غباری را کمتر می‌نماید. به عبارت دقیق‌تر تغییر توپوگرافی شهری و رواج بلندمرتبه‌سازی مانع جریان باد در سطح شهر شده و لذا کاهش ورودی گرد و غبار با منشأ بیرونی را به همراه دارد. گرچه این وضعیت یعنی افزایش ضریب توپوگرافی بر کاهش پدیده‌ی گرد و غبار اثر مثبتی داشته اما اثرات آن به صورت تشدید آلینده‌های هوای شهری خسارت‌های جبران‌ناپذیری بر جمعیت ساکن در شهر و زائرین بهبار می‌آورد. کاهش سرعت باد در داخل بافت شهری مستعد حمل ذرات غباری حمل شده از نواحی کانونی دوردست نبوده اما منجر به تمرکز شدید آلودگی‌های ناشی از سوخت‌های فسیلی شده و تخلیه آن به بادهای با سرعت بالا در عبور از روی شهر مشهد دارد. با توجه به اینکه مسیرهای مهم حمل گرد و خاک در شمال‌شرق کلان‌شهر مشهد قرار دارد ولی چند سال اخیر تغییرات کاربری اراضی و توسعه کشاورزی از یک طرف و کمبود بارش و خشکی هوا از طرف دیگر انتظار می‌رود روزهای گرد و غباری شهر به سرعت رو به افزایش بوده و نواحی حاشیه‌ای شهر را به شدت متأثر سازد. تراکم رسوب‌گذاری گرد و غبار در حواشی شهر و بهخصوص در اراضی زیرکشت این مناطق را به عنوان مناطق منشأ کانونی گرد و غبار در وزش بادهای شدیدتر یا محلی تغییر داده و نهایتاً این مواد به داخل بافت شهری کشیده خواهد شد. بنابراین تشدید روزهای گرد و غباری در آینده امری کاملاً طبیعی بوده و باید سعی شود دست‌کاری اراضی خارج از بافت به حداقل ممکن برسد. همچنین گرد و غباری که به داخل شهر راه می‌یابد به دلیل تغییرات شدید سرعت و جهت باد در داخل بافت برای

مدت طولانی باقی خواهد ماند و با هر ورزش باد محلی به هوای داخل بافت وارد شده و گرد و غبار محلی ایجاد نماید. توقف توسعه رشد عمودی شهر و همچنین توسعه فضاهای سبز شهری می‌تواند در پیشگیری از این مشکلات مؤثر واقع گردد.

تشکر و قدردانی

این مقاله برگرفته از طرح پژوهشی است که با حمایت مالی و مساعدت مرکز پژوهش‌های شورای اسلامی شهر مشهد انجام شده است، بدین منظور تشکر و قدردانی می‌شود. همچنین نویسنده‌گان مقاله از کارشناسان سازمان هواشناسی خراسان رضوی، بویژه جناب آقای دکتر حبیبی و سرکارخانم مهندس ثابت به جهت در اختیار قرار دادن داده‌های گرد و غبار ایستگاه سینوپتیک مشهد تشکر می‌نمایند.

کتابنامه

- امیدوار، کمال. نکونام، زری، (۱۳۹۰)، کاربرد گلباد و گل غبار در تحلیل گرد و خاک و تعیین رژیم فصلی بادهای همراه با این پدیده مطالعه موردی شهر سبزوار. پژوهش‌های جغرافیای طبیعی، ۷۶: ۸۵-۱۰۴.
- جهانشیری، مهین، (۱۳۸۹)، بررسی آماری و سینوپتیکی آلودگی هوای مشهد، پایان نامه کارشناسی ارشد جغرافیای طبیعی-اقليم شناسی، به راهنمایی علیرضا انتظاری، دانشگاه حکیم سبزواری، سبزوار.
- حسین زاده، سید رضا، (۱۳۷۶)، بادهای ۱۲۰ روزه سیستان. تحقیقات جغرافیایی، ۴۶: ۱۰۳-۱۲۷.
- حسین زاده، سید رضا. دوستان، رضا. حقیقت ضیابری، سیده مرضیه. حقیقت ضیابری، سیده مریم، (۱۳۹۲)، بررسی الگوهای همدید مؤثر بر آلودگی هوا در کلانشهر مشهد. جغرافیا و توسعه ناحیه‌ای، ۲۱: ۸۱-۱۰۲.
- ذوالفاری، حسن. عابد زاده، حیدر، (۱۳۸۴)، تحلیل سینوپتیک سیستم‌های گرد و غبار در غرب ایران. مجله جغرافیا و توسعه، ۶: ۱۷۳-۱۸۸.
- شمسمی‌پور، علی‌اکبر. صفر راد، ظاهر، (۱۳۹۱)، تحلیل ماهواره‌ای-همدیدی پدیده گرد و غبار (گرد و غبار تیرماه ۱۳۸۸)، پژوهش‌های جغرافیای طبیعی، ۷۹: ۱۱۱-۱۲۸.
- صفیری، اعظم، (۱۳۹۲)، شناسایی منابع غبار طوفان‌های گرد و غباری جنوب غرب ایران. پایان نامه کارشناسی ارشد گرایش اقلیم‌شناسی در برنامه‌ریزی محیطی. به راهنمایی عباس مفیدی، دانشگاه فردوسی مشهد. مشهد.
- علوی پناه، سید‌کاظم، (۱۳۸۲)، کاربرد سنگشن از دور در علوم زمین. مؤسسه انتشارات و چاپ دانشگاه تهران. چاپ اول. ص ۲۷۱.
- علیجانی، بهلول. نجفی‌نیک، زهرا، (۱۳۸۸)، بررسی سینوپتیکی اینورزن در مشهد با استفاده از تحلیل عاملی. مجله جغرافیا و توسعه ناحیه‌ای، ۱۲: ۱-۱۲.
- قریانی، محمد. فیروز زارع، علی، (۱۳۸۷)، مقدمه‌ای بر ارزش‌گذاری محیط‌زیست. انتشارات دانشگاه فردوسی مشهد. چاپ ۱۳۸۹، ص ۱۵۶.

قربانی، محمد. فیروز زارع، علی، (۱۳۸۸)، ارزش‌گذاری ویژگی‌های مختلف آلودگی هوا در مشهد. مجله تحقیقات اقتصادی، ۸۹: ۲۱۵-۲۴۲.

کاخکی مهند، حمید، (۱۳۹۲)، استفاده از مدل شبکه عصبی مصنوعی در بررسی روابط بین عناصر اقلیمی و نوسانات آلودگی هوا در کلان‌شهر مشهد. پایان‌نامه کارشناسی ارشد، گرایش اقلیم شناسی در برنامه‌ریزی محیطی، به راهنمایی محمد سلیقه، دانشگاه خوارزمی، تهران.

گلریز ضیائی، زهرا. صادقی، حمید. معتمدی، محمد. ژاله رجبی، میرزا، (۱۳۹۰)، پیش‌بینی، ارزش‌گذاری و ترسیم نقشه آلودگی هوای شهر مشهد؛ مطالعه موردی گاز منوکسید کربن، ۲ و ۳ آذر ماه. اولین کنفرانس اقتصاد شهری ایران. مشهد.

مبادری، محمدرضا. غفوری، علی، (۱۳۸۵)، آشکارسازی و مطالعات غبار جوی در تصاویر ماهواره‌ای با استفاده از اختلاف دمای درخشندگی، نقشه‌برداری، ۸۴: ۱۹-۲۵.

مفیدی، عباس. جعفری، سجاد، (۱۳۹۰)، بررسی نقش گردش منطقه‌ای جو بر روی خاورمیانه در وقوع توفان‌های گرد و غبار تابستانه در جنوب غرب ایران. مطالعات جغرافیای مناطق خشک، ۵: ۱۷-۴۶.

منصوری، نبی‌اله. علی‌نژاد، جواد، (۱۳۸۸)، بررسی کارایی سیستم‌های کنترل کننده ذرات معلق و تعیین میزان انتشار در کارخانجات آسفالت مشهد. فصلنامه علوم تکنولوژی محیط زیست، ۴۰: ۱-۹.

Ackerman, S. A., Chung, H. (1992). Radiative effects of Airborne dust on regional energy budgets at the top of atmosphere. *Journal of Applied Meteorology*, 31, 223-233.

Edwards, D. P., DeCola, J., Fishman, D., Jacob, P., Bhartia.D., Burrows, J., Goldberg. M. (2006). Community input to the NRC decadal survey from the NCAR workshop on air quality remote sensing from space: defining an optimum observing strategy. *Journal of National Center for Atmospheric Research Boulder*, retrieved from: http://www.acducar.edu/Events/meeting/Air_Quality_Remote_sensing/Reports/AQR_SinputsDS.pdf.

Ghrbani, M., & Firoz Zaree, A. (2009). Measurement of air pollution characteristics in Mashhad. *Economic Research Journal*, 89, 215-242. [in Persian]

<http://disc.sci.gsfc.nasa.gov/giovanni>

<http://www.esrl.noaa.gov/psd/data/reanalysis.shtml>

<http://www.ready.arl.noaa.gov/HYSPLIT>

Jahanshiri, M. (2010). *Statistical and synoptic investigations of air pollution of Mashhad* Unpublished master's thesis, University of Hakim Sabzevari, Sabzevar. [in Persian]

Kai, Z., & GAO, H. (2007). The characteristics of Asian-dust storms during 2000-2002: From the source to the sea. *Journal of Atmospheric Environment*, 41, 9136-9145.

Karimi, N., Moridnejad,A., Golian, S., M.V., Samani, J., Karimi, D., & Javadi, S., (2012). Comparison of dust source identification techniques over land in the Middle East region using MODIS data. *Canadian Journal of Remote Sensing*, 38(5), 586-899.

- Kaufaman, Y. J. (1997). Passive remote sensing of tropospheric aerosol and atmospheric correction for the aerosol effect. *Journal of Geophysical Research*, 102, 16815-16830.
- Kaufman, Y. J., & Tanre, D. (1998). Remote sensing of tropospheric aerosols from EOS Modis overland. *Journal of Geophysical Research*, 102, 17051-17067.
- Mansoori, N., & Alinejad, J. (2009). The Study of efficiency of suspension particles controller systems and determination of distribution amounts in Mashhad asphalt companies. *Environmental Technology Sciences*, 40, 1-9.
- Miller, S. D. (2003). A consolidated technique for enhancing desert dust storms with MODIS. *Journal of Geophysical Research Letters*, 30(20), 2071-2074.
- Mobasher, M. R., & Ghafori, A. (2006). Detection of atmospheric dusts in satellite images using Brightness Temperature Difference. *Survey*, 84, 19-25. [in Persian]
- Omidvar, K., & Nokonam, Z. (2011). Application of wind rose and dust rose in dust analysis and determination of seasonal wind regime related with this phenomenon (Case study: Sabzevar city). *Geographical Research*, 76, 85-104. [in Persian]
- Safari, A. (2013). *Recognition of dust storm sources in southwestern of Iran*. Unpublished master's thesis, Ferdowsi University of Mashhad, Mashhad. [in Persian]
- Shunlin, L., Zong, B., & Hongliang, F. (2006). Improved estimation of aerosol optical depth from MODIS imagery over land surface. *Journal of Remote Sensing Of Environment*, 104, 416-425.
- Tom, X. P., Zhao, Ackerman, S, Guo, W. (2010). Dust and smoke detection for multi-channel imagers, *Journal of Remote Sensing*, 2, 2347-2368.
- Wang, S., Yang, D., Jing, J., Xu, Q., Yang, Yu. (1995). Study on the formative causes and countermeasures of the catastrophic sandstorm occurred in Northwest China. *Journal of Desert Research*, 15(1), 19-30.
- Wang, Y., Stein. A., Draxler, R., Rosa, D., Zhang, X. (2011). Global sand and dust storms in 2008: Observation and HYSPLIT model verification. *Journal of Atmospheric Environment*, 45, 6368-6381.
- Wang. E., Qiming. L., Na. Y., Xianhua. W., & Jinji. M. (2013). Air quality evaluation on an urban scale based on MODIS satellite images. *Journal of Atmospheric Research*, 132-134, 22-34.
- Xia, L. (2010) . *Sea surface temperature extraction by modis remote sensing data in Lianyungang sea area*. Paper presented at the Second IITA International Conference on Geoscience and Remote Sensing. Qingdao, 118-120.
- Xuan J., Sokolik IN., Hao J., Guo F., Mao H., & Yang G. (2004). Identification and characterization of atmospheric mineral dust in East Asia. *Journal of Atmospheric Environments*, 38(36), 6239-6252.